

Zeitschrift: Cahiers d'archéologie romande
Herausgeber: Bibliothèque Historique Vaudoise
Band: 152 (2015)

Artikel: Onnens-Praz Berthoud (canton de Vaud, Suisse) : contexte, environnement et occupations du Mésolithique au début du Néolithique
Autor: Jakob, Bastien / Falquet, Christian / Arbogast, Rose-Marie
Rubrik: Planches 1-19
DOI: <https://doi.org/10.5169/seals-835636>

Nutzungsbedingungen

Die ETH-Bibliothek ist die Anbieterin der digitalisierten Zeitschriften auf E-Periodica. Sie besitzt keine Urheberrechte an den Zeitschriften und ist nicht verantwortlich für deren Inhalte. Die Rechte liegen in der Regel bei den Herausgebern beziehungsweise den externen Rechteinhabern. Das Veröffentlichen von Bildern in Print- und Online-Publikationen sowie auf Social Media-Kanälen oder Webseiten ist nur mit vorheriger Genehmigung der Rechteinhaber erlaubt. [Mehr erfahren](#)

Conditions d'utilisation

L'ETH Library est le fournisseur des revues numérisées. Elle ne détient aucun droit d'auteur sur les revues et n'est pas responsable de leur contenu. En règle générale, les droits sont détenus par les éditeurs ou les détenteurs de droits externes. La reproduction d'images dans des publications imprimées ou en ligne ainsi que sur des canaux de médias sociaux ou des sites web n'est autorisée qu'avec l'accord préalable des détenteurs des droits. [En savoir plus](#)

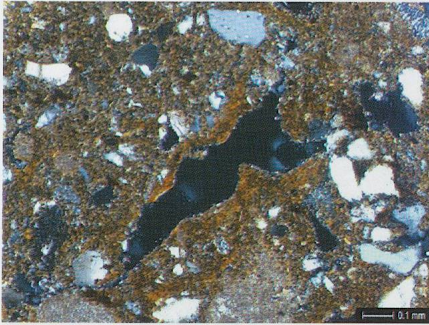
Terms of use

The ETH Library is the provider of the digitised journals. It does not own any copyrights to the journals and is not responsible for their content. The rights usually lie with the publishers or the external rights holders. Publishing images in print and online publications, as well as on social media channels or websites, is only permitted with the prior consent of the rights holders. [Find out more](#)

Download PDF: 18.04.2026

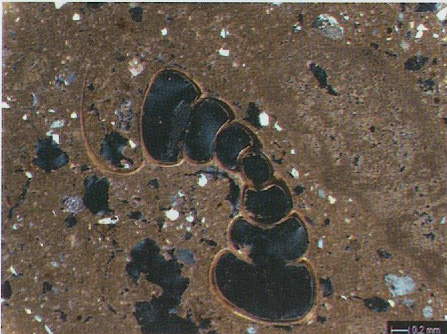
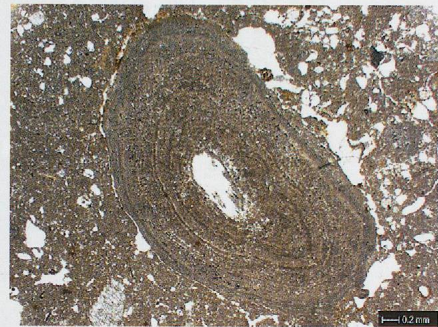
ETH-Bibliothek Zürich, E-Periodica, <https://www.e-periodica.ch>

PLANCHE 1



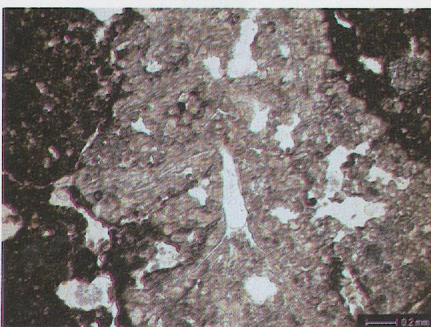
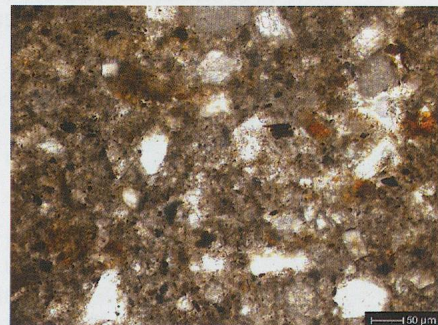
1. Vue sous microscope de la couche 7a (col. 14 ; lame mince 331.2). On distingue un vide racinaire avec une illuviation poussiéreuse et une faible réticulation de la masse due aux argiles. Le sédiment se constitue d'une matrice carbonatée micritique et comprend une certaine concentration d'argile, ainsi que d'abondants sables de quartz. Lumière polarisée.

2. Oncoïde d'eau douce et presque concentrique, au sein de la couche 6b (col. 7 ; lame mince 329.1). Cet exemplaire montre au moins sept lamines carbonatées accumulées autour d'un nucléus d'origine organique dégradé. La structure compacte et lisse indique que l'oncoïde a été périodiquement exposé à l'air libre. Le milieu de sédimentation correspond ainsi à un ruisseau ou une mare. Lumière analysée.



3. Coupe transversale d'une coquille de mollusque (*Discus rotundatus*, détermination N. Thew) dans la couche 6b (col. 7 ; lame mince 329.1). Cet exemplaire bien préservé est intégré à un silt carbonaté micritique, légèrement sablonneux et compact. A droite, un fragment d'oncoïde est reconnaissable. Lumière polarisée.

4. La matrice de l'ensemble 5 (col. 14 ; lame mince 327.1) correspond au même silt carbonaté micritique et sablonneux que celui de la couche 6a (en clair : sables de quartz ; en gris : silts carbonatés). Des précipitations ferromanganiques (en orange) et des charbons de bois (en noir) sont intégrés à la matrice et sont responsables de la couleur plus foncée de l'ensemble. Lumière analysée.



5. Concrétion sparitique au pourtour d'une racine dégradée dans l'ensemble 5 (col. 14 ; lame mince 325.2) où la teneur en oncoïdes diminue nettement. Ceux-ci sont substitués par des fragments de tuf calcaire de forme irrégulière. Lumière analysée.

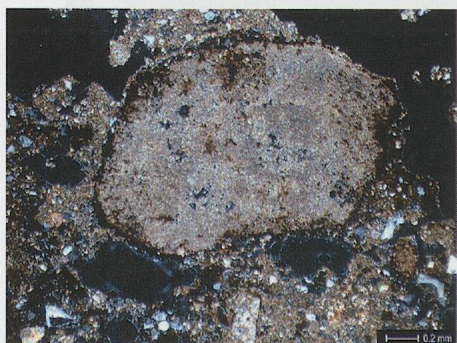
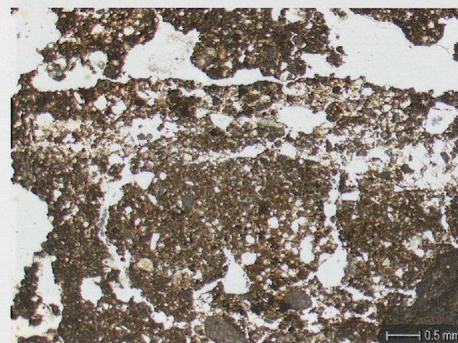
PLANCHE 2



6. Fragment d'os subarrondi et altéré, visiblement remanié, dans l'ensemble 5 (col. 14 ; lame mince 327.1). D'autres esquilles d'os et des charbons de bois indiquent une activité anthropique. Lumière analysée.

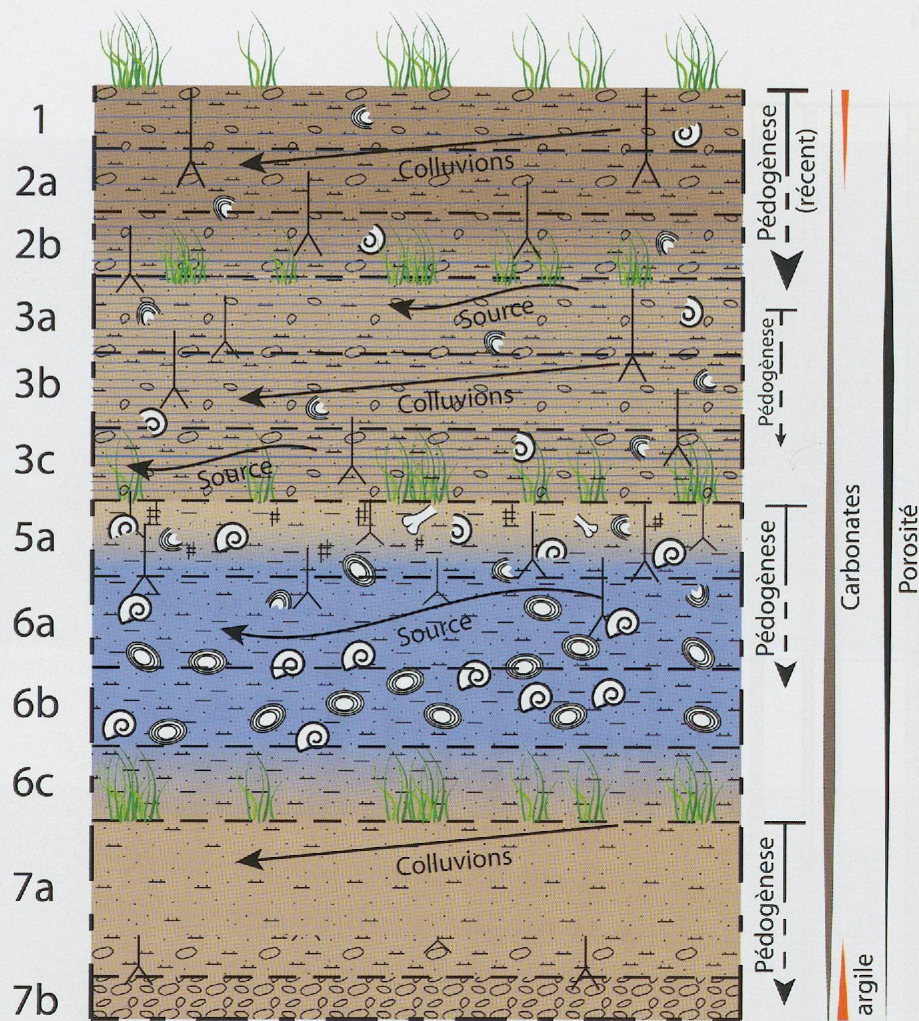


7. Un scannage de la lame mince 286.2, dans la partie supérieure de la couche 3b (en haut), révèle une structure à chambres et chenaux. Dans le cercle rouge, on distingue un agrégat de sol remanié, fortement agrandi dans la vue sous microscope (en bas, lumière analysée). Au sommet de ce fragment se trouve un liseré millimétrique de sablons finement lités, interprété comme un niveau tassé par piétinement.



8. Précipitation ferromanganique sur un fragment d'oncoïde altéré en voie de dissolution, au sein de la couche 3a (col. 7 ; lame mince 286.1). Le taux de carbonates dans la matrice est plus bas que dans les ensembles 5 et 6. Lumière polarisée.

PLANCHE 3



Légende

	Gravillon (avec sable et argile)		Faible influence de la source
	Silt sablo-gravilloneux		Tuf-oncoïde / fragm.
	Silt sablonneux		Coquille de mollusque / fragm.
	Pédogenèse		Esquille d'os
	Forte influence de la source		Bioturbation
	Influence de la source		Charbon de bois

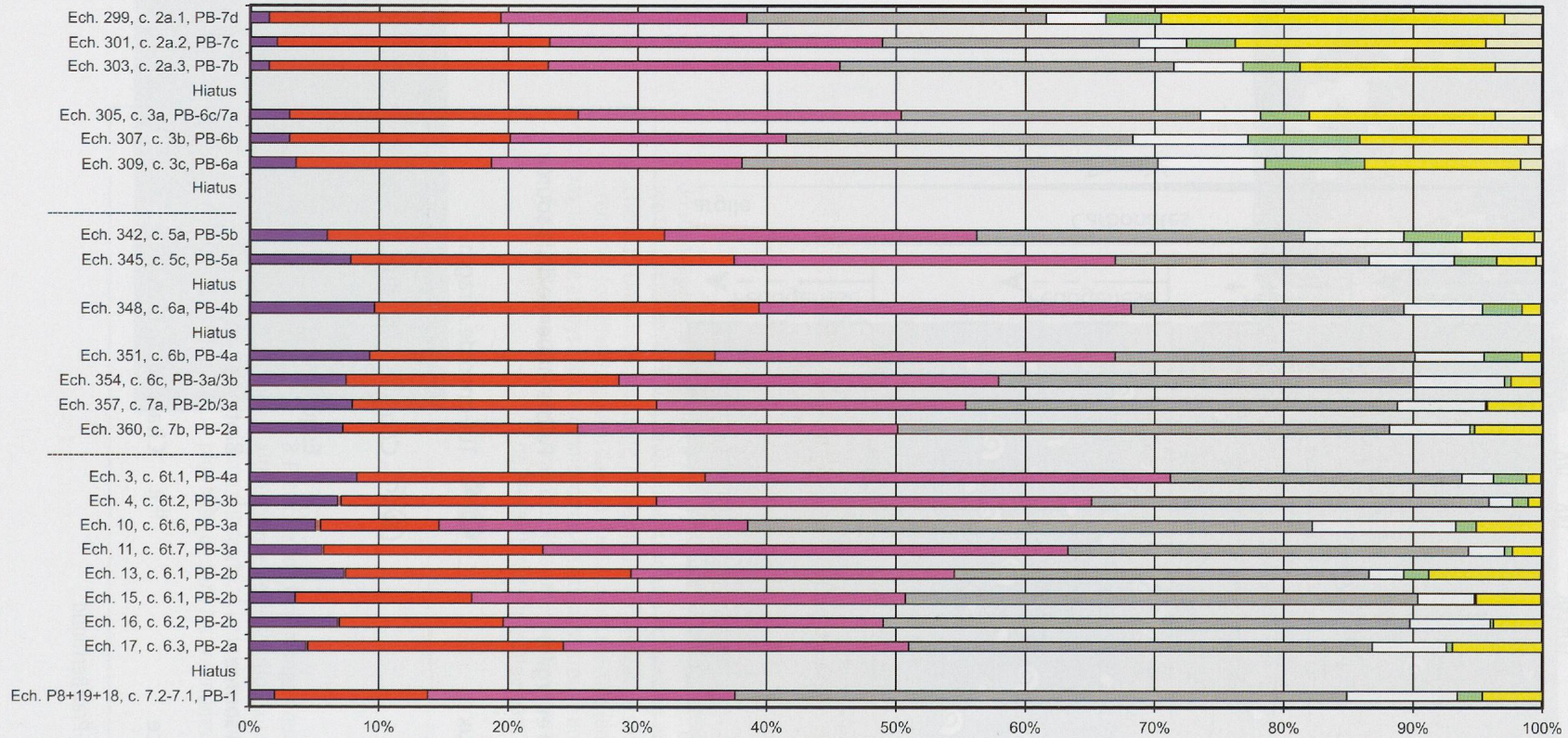
Profil synoptique du site d'Onnens-Praz Berthoud.

PLANCHE 4

Colonne 7

Colonne 14

Colonne QX-267

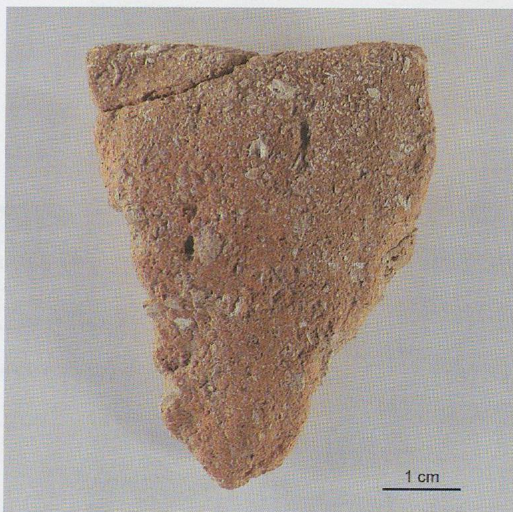


Groupes écologiques

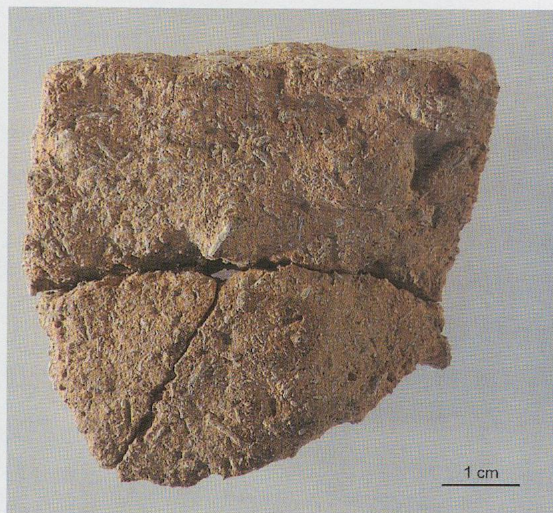
- 1) forestier
- 2) forêt sèche et ouverte
- 3) semi forestier
- 4) ombre
- 6) tolérant humide
- 7) tolérant
- 8) tolérant sec
- 9) milieu ouvert
- 10) milieu ouvert sec

Spectre malacologique - proportion par échantillon des groupes écologiques (sans les espèces palustres et aquatiques).

PLANCHE 5



1. Bord 7 (QK-266-125).



2. Bord 2 (QO-262-110).

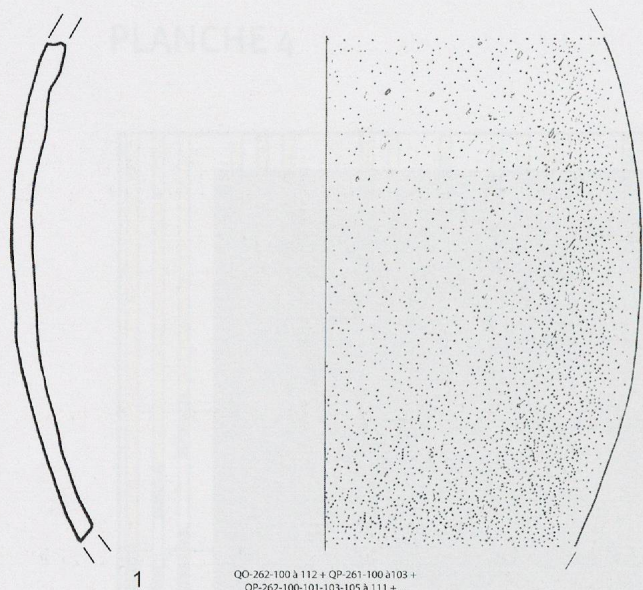


3. Bord 3 (QP-263-100-101-102).



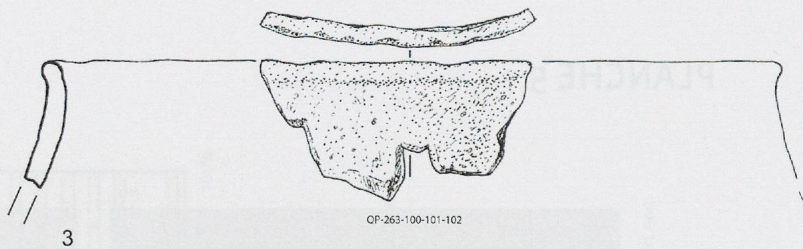
4. Bord 5, vue du décor incisé (QM-263-64).

PLANCHE 6



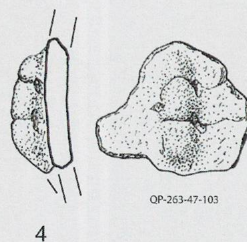
1

QO-262-100 à 112 + QP-261-100 à 103 +
QP-262-100-101-103-105 à 111 + ...



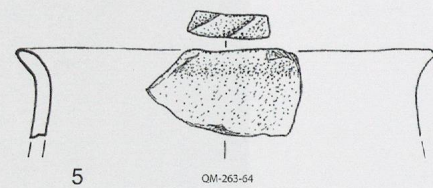
3

QP-263-100-101-102



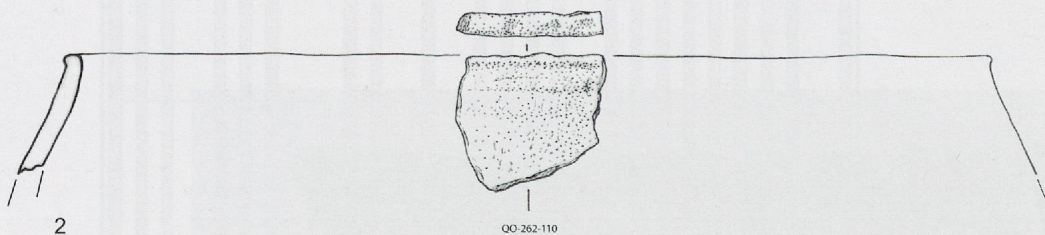
4

QP-263-47-103



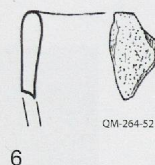
5

QM-263-64



2

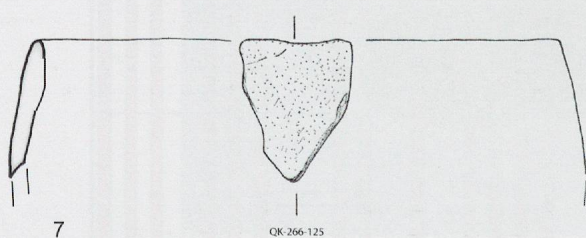
QO-262-110



6

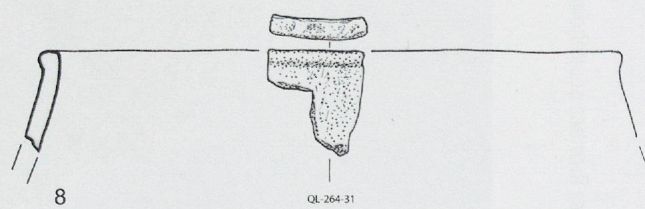
QM-264-52

5 cm



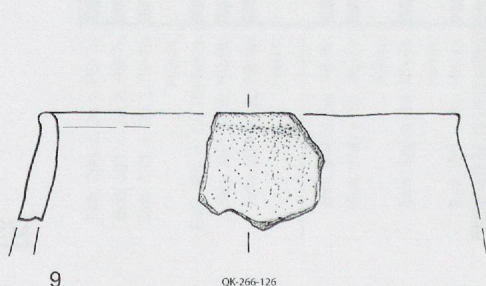
7

QK-266-125



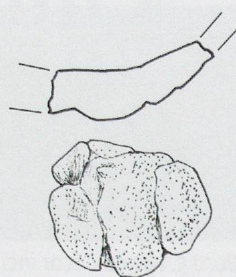
8

QL-264-31



9

QK-266-126



10

QL-266-75

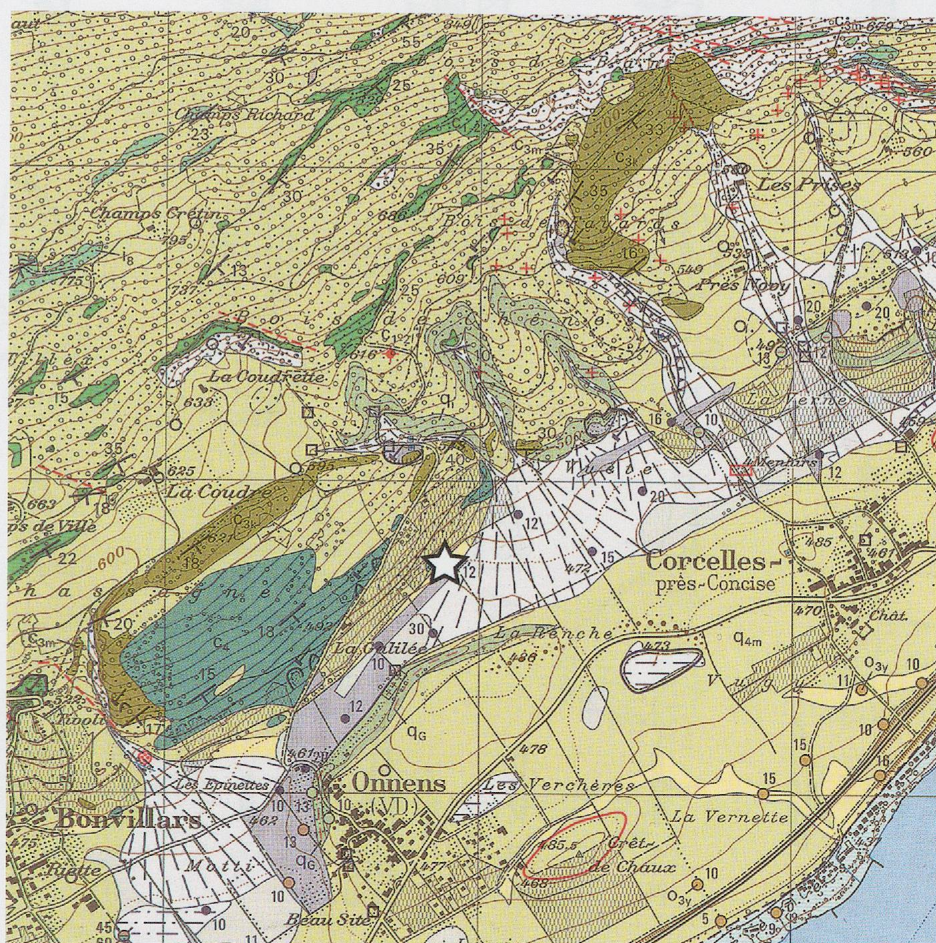


11

QS-264-303

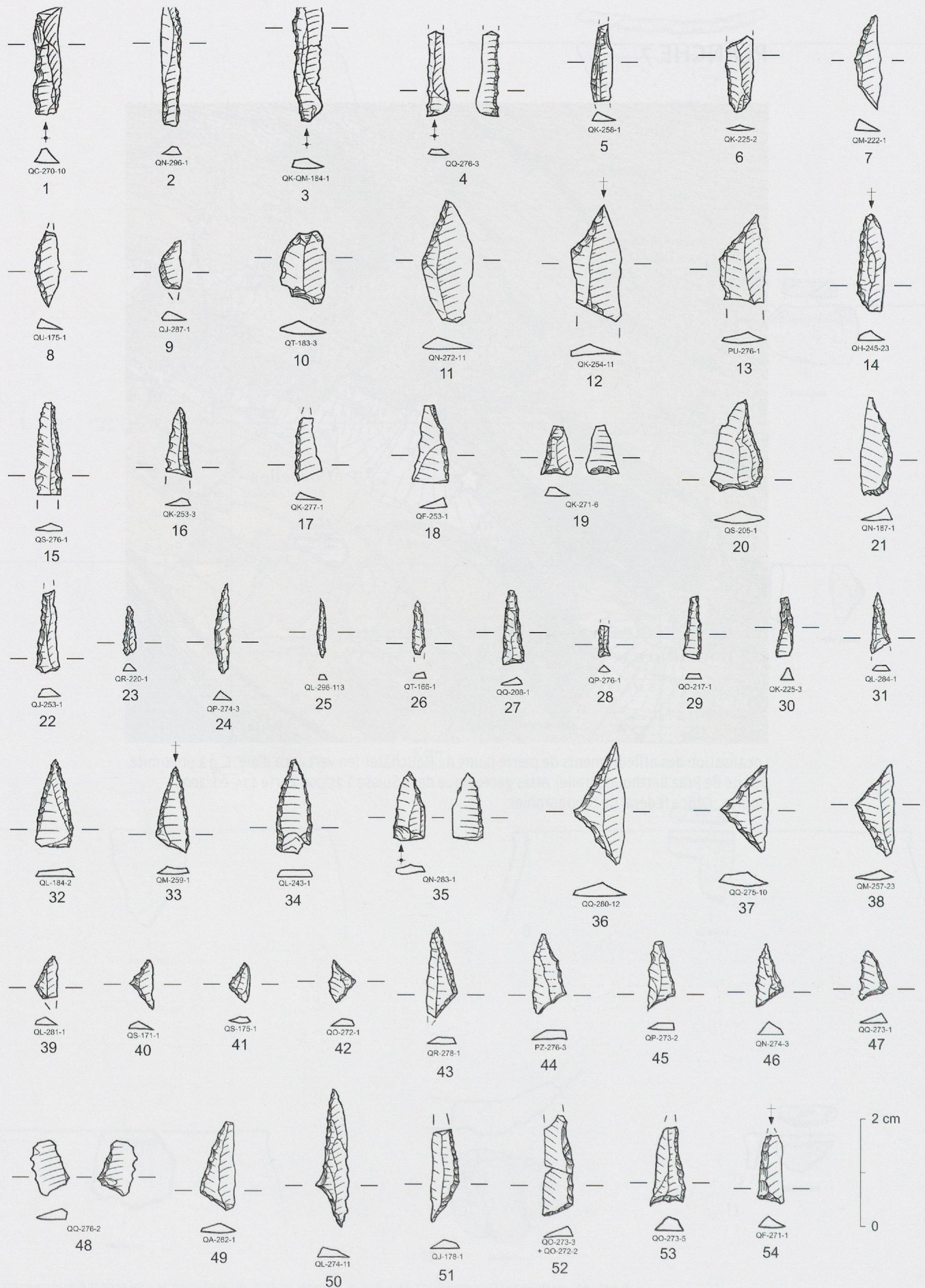
Céramique à dégraissant fossile (Ech. 1:3). 1: panse; 2, 3, 5-9 et 11: bords; 4: languette; 10: fond.

PLANCHE 7

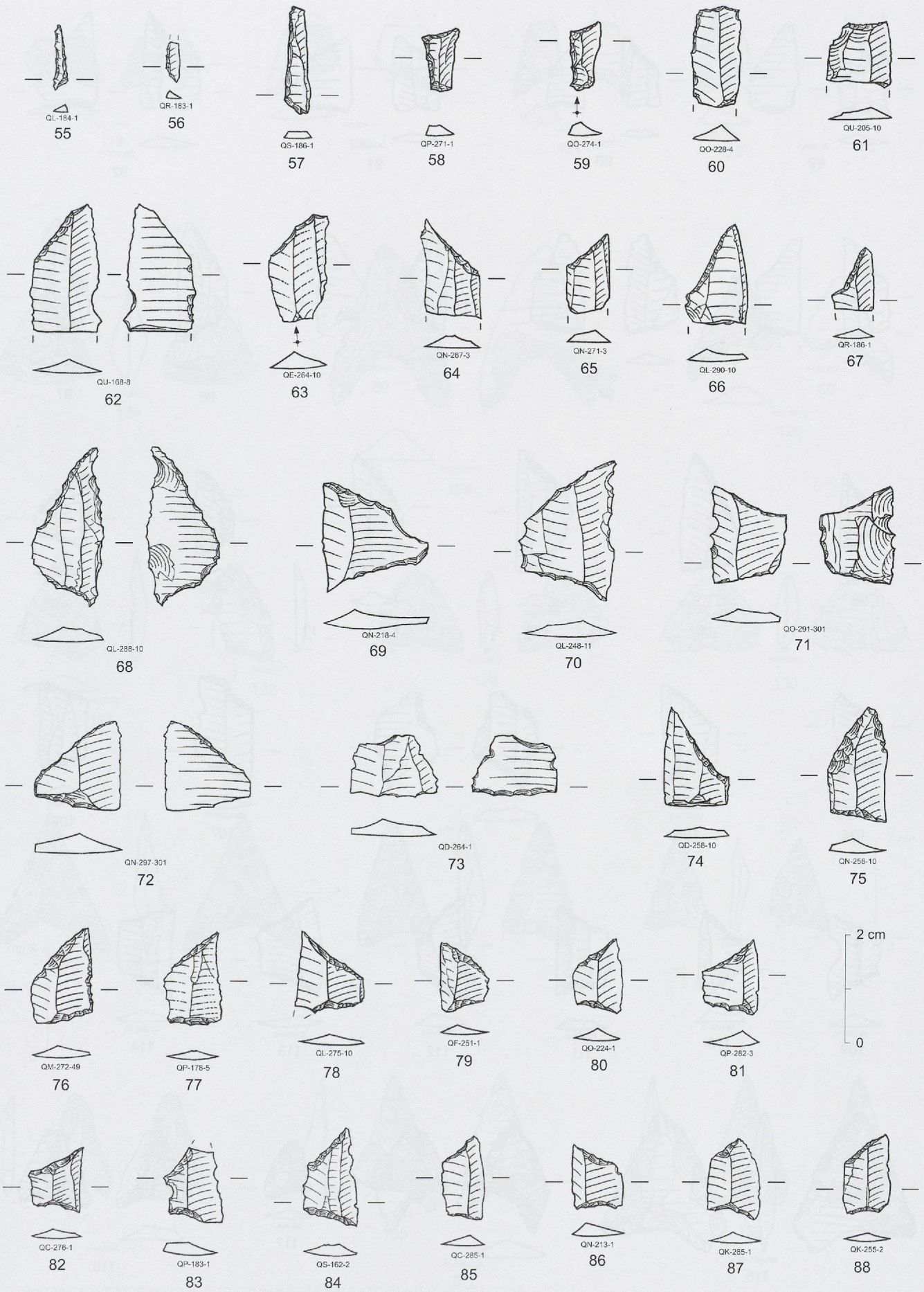


Localisation des affleurements de pierre jaune de Neuchâtel (en vert caca d'oie : C₃₁) à proximité du site de Praz Berthoud (étoile). Atlas géologique de la Suisse 1:25'000, carte 114, éd. 2006 (source : Office fédéral de topographie).

PLANCHE 8

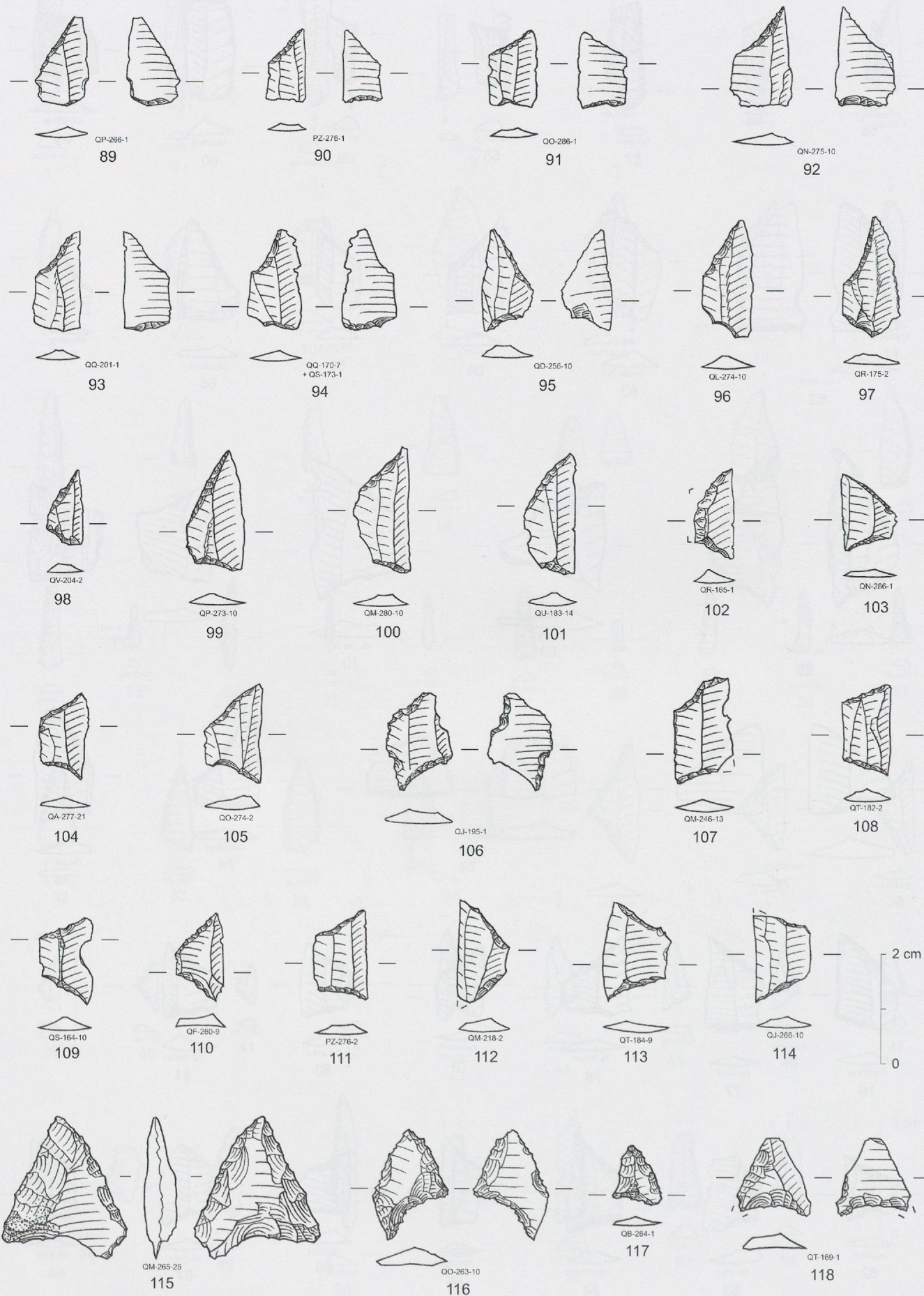


Lamelles à dos: 1 à 6; segments: 7 à 10; pointes à troncature: 11 à 13; pointes à dos simple 14 à 23; pointes à double dos: 24 à 35; triangles isocèles: 36 à 42; triangles scalènes: 43 à 54.

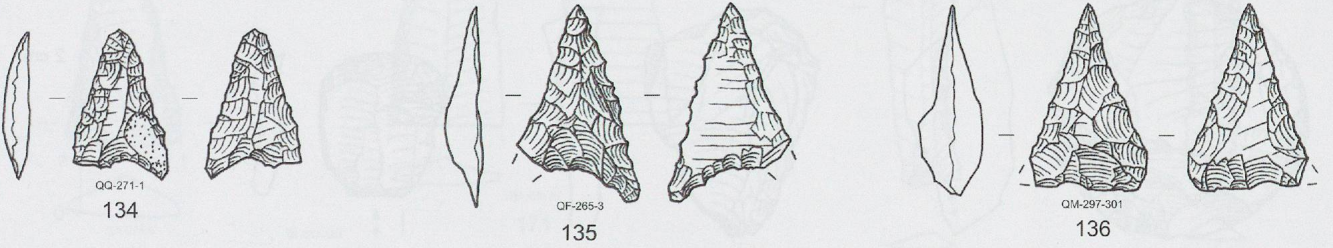
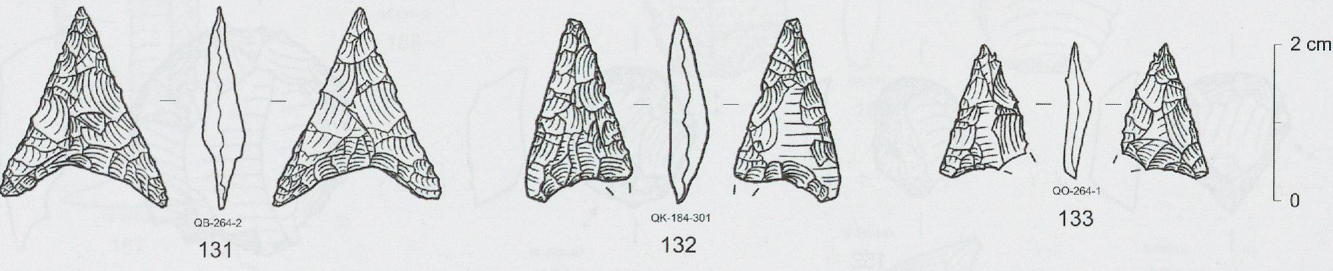
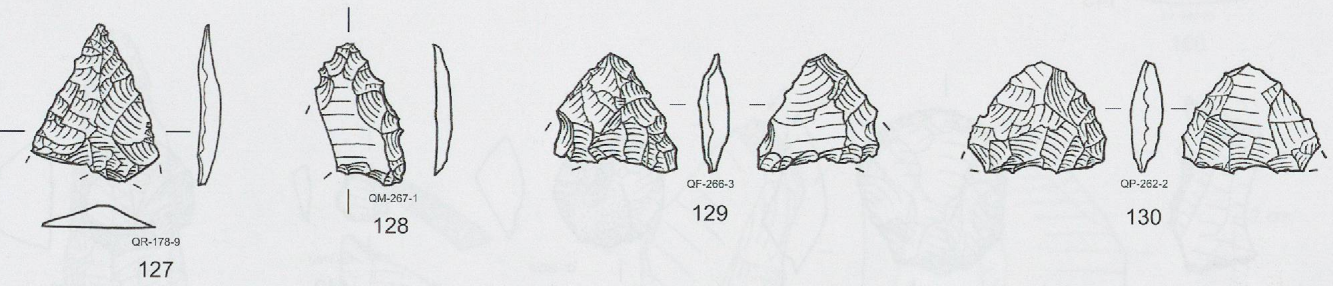
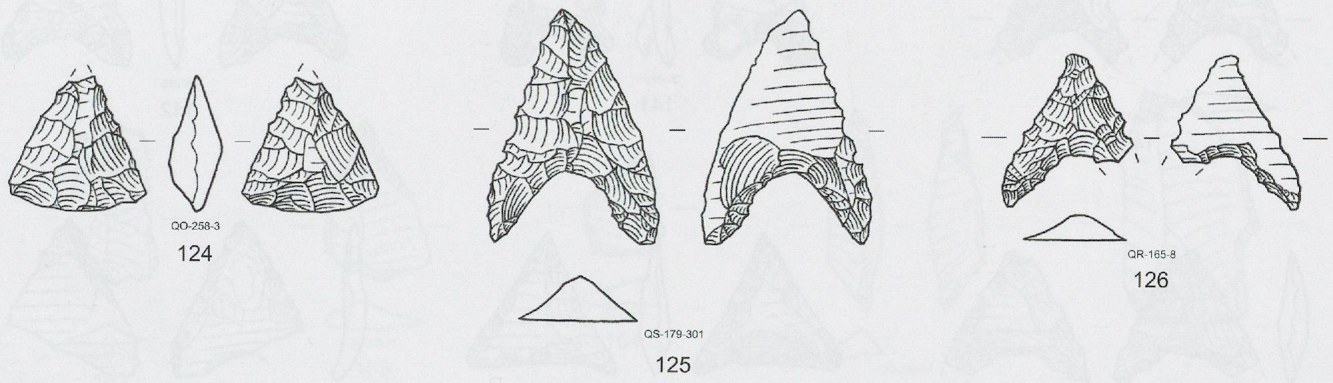
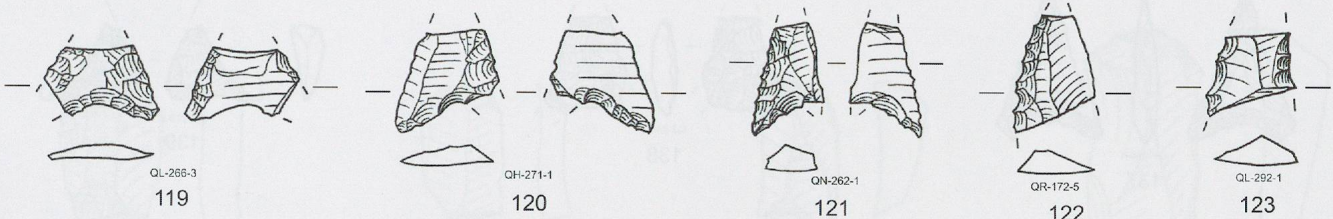


2 cm
0

Triangles scalènes : 55 et 56 ; lamelles scalènes : 57 à 59 ; lamelles à troncature : 60 à 67 ; trapèzes : 68 à 88.

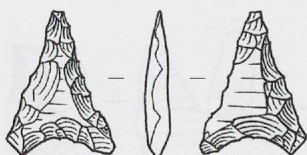


Trapèzes : 89 à 114 ; Pointes asymétriques : 115 à 118.

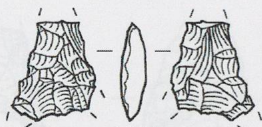


Pointes asymétriques : 119 à 123 ; pointes de flèche triangulaires : 124 à 136.

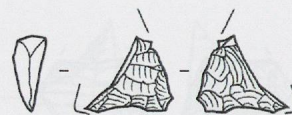
PLANCHE 12



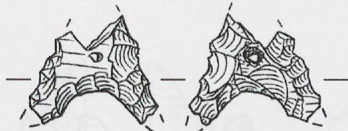
OF-264-1
137



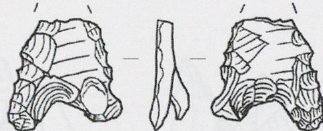
QJ-246-1
138



PZ-279-5
139



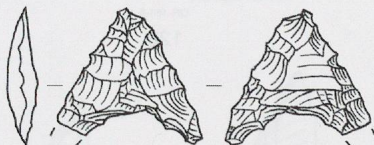
OF-261-5
140



QL-270-1
141



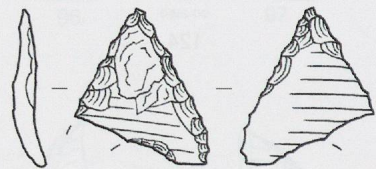
QN-266-1
142



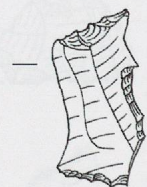
QK-182-1
143



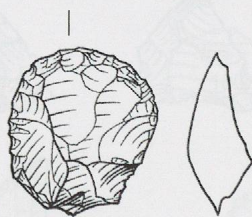
QH-251-301
144



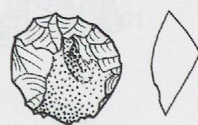
QM-267-11
145



QT-166-5
146



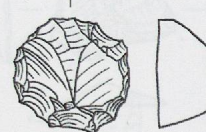
QJ-274-10
147



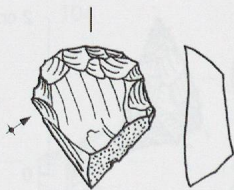
QT-203-2
148



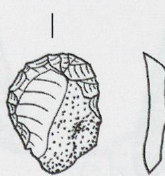
QL-176-1
149



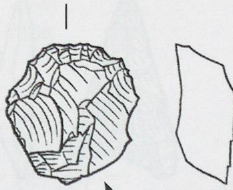
QF-265-10
150



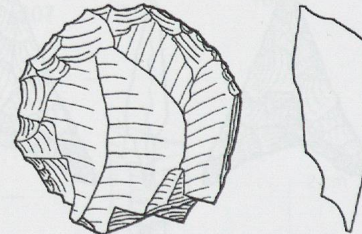
QJ-253-2
151



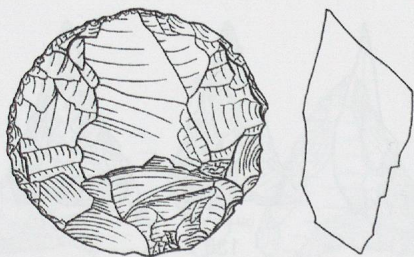
QM-280-2
152



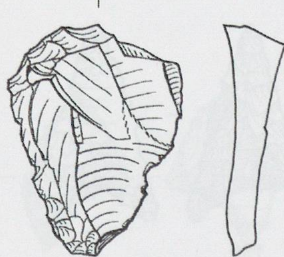
QH-249-10
153



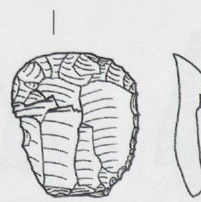
QJ-265-29
154



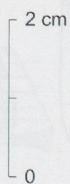
QL-257-19
155

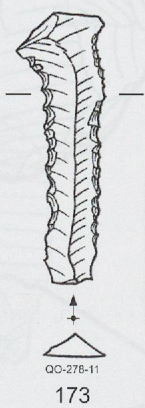
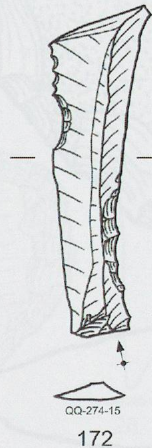
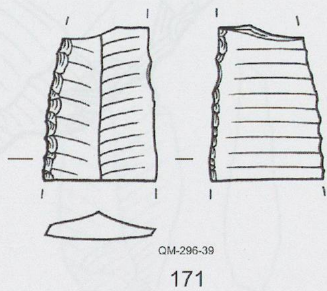
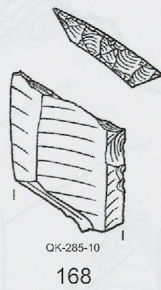
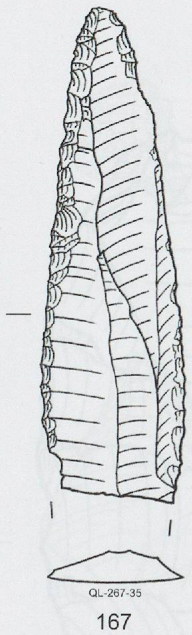
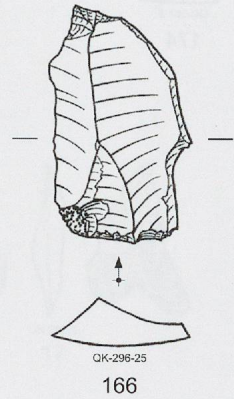
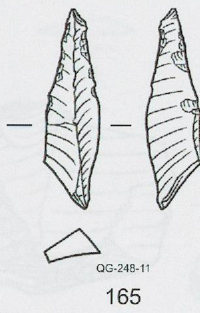
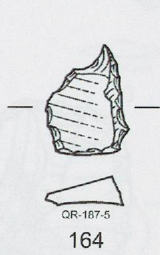
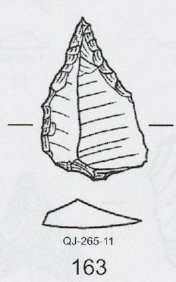
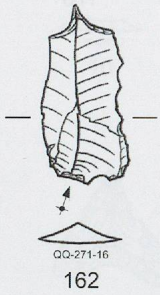
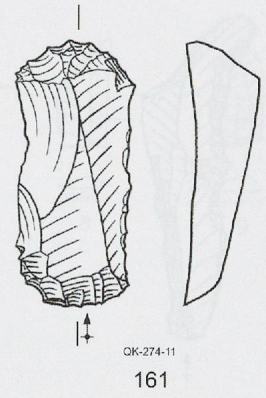
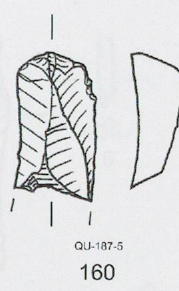
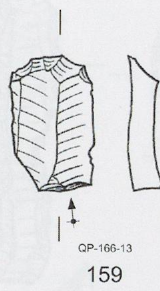
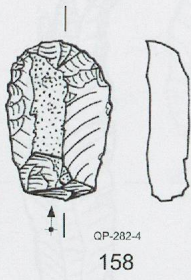


QQ-204-1
156

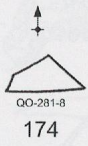


QU-173-10
157

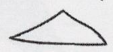




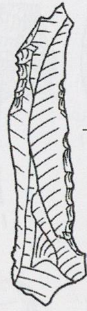
Grattoirs: 158 à 161; perçoirs: 162 à 166; pièces à retouches non abruptes: 167; troncature: 168; burin: 169; pièces à retouches abruptes: 170 et 171; pièces à enlèvements irréguliers: 172 et 173.



OO-281-8
174



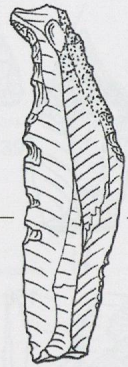
OF-253-10
175



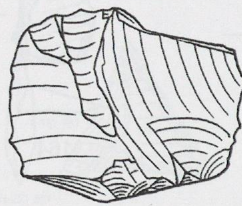
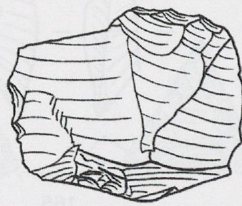
QN-254-10
176



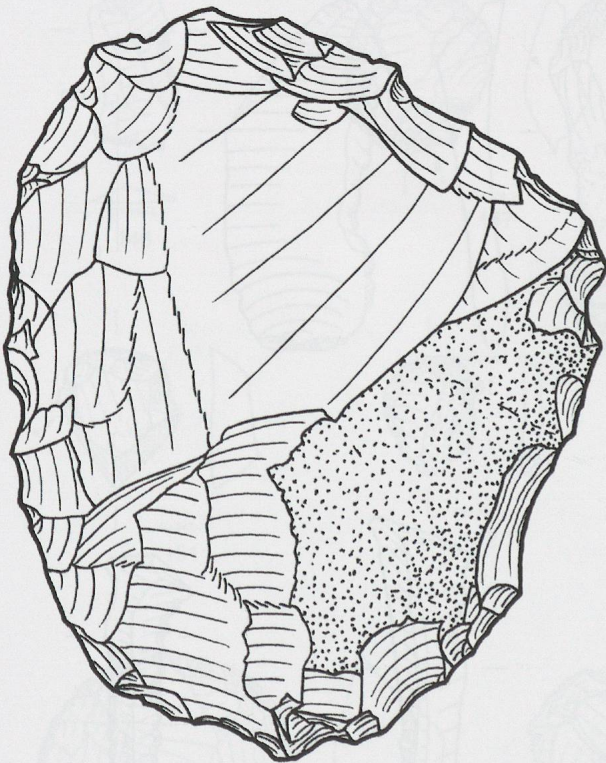
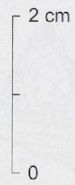
QX-205-6
177



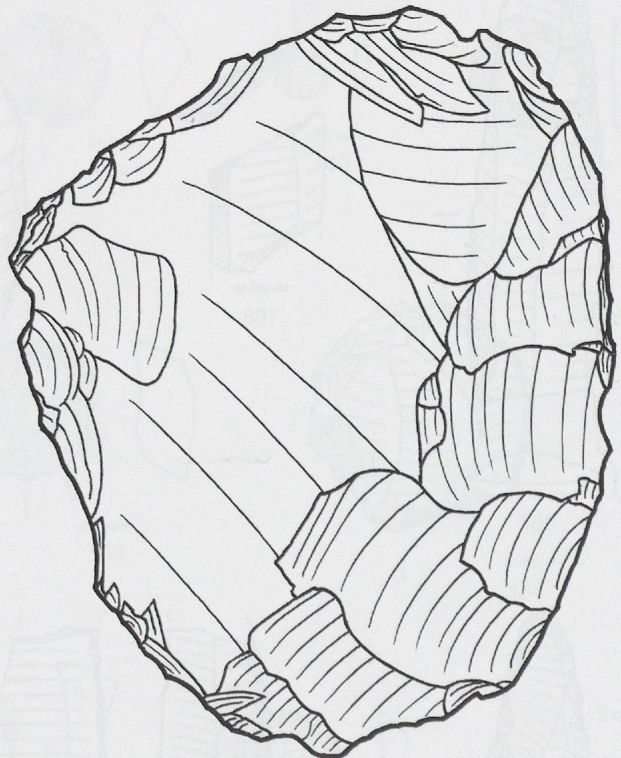
QN-214-1
178



QH-229-9
179

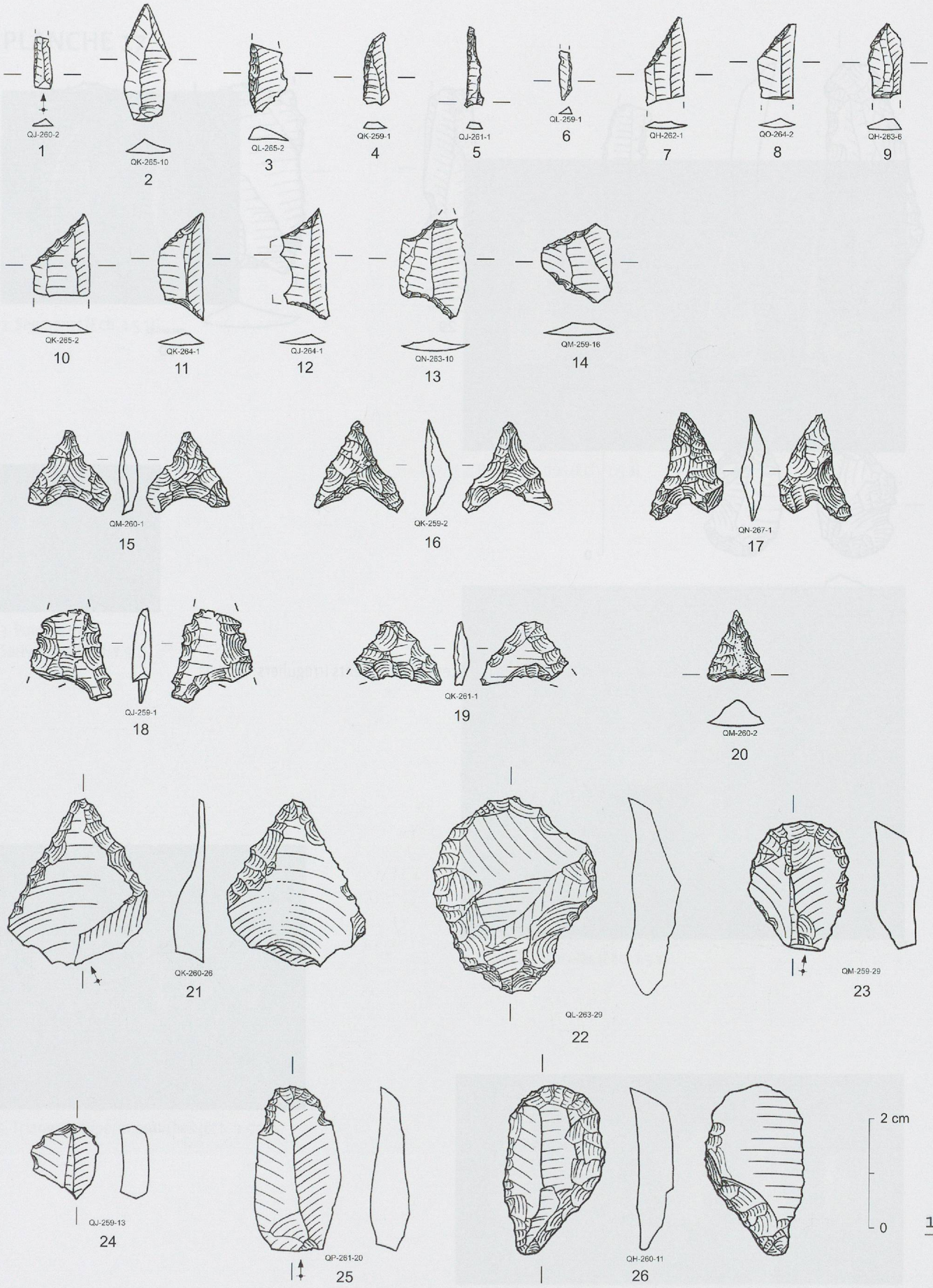


184



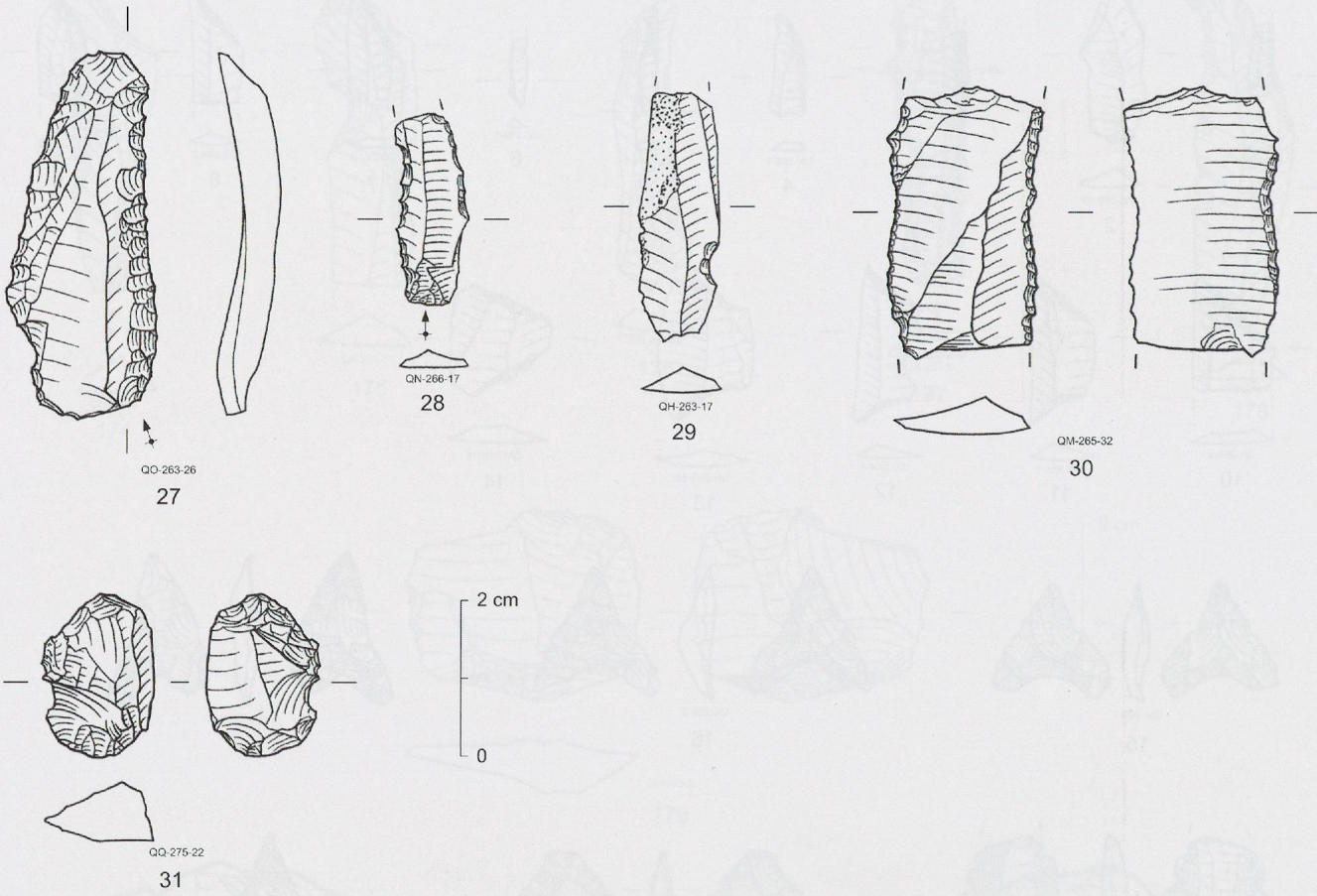
180

QL-247-17
Pièces à enlèvements irréguliers: 174 à 179; divers (outils du fonds commun): 180.



2 cm
0

Mobilier de la couche 6a: lamelle à dos : 1 ; pointe à troncature : 2 ; pointes à dos simple 3 et 4 ; pointe à double dos : 5 ; triangle scalène : 6 ; lamelles à troncature : 7 à 10 ; trapèzes : 11 à 14 ; pointes de flèche triangulaires : 15 à 21 ; grattoirs : 22 à 26.



Mobilier de la couche 6a: Pièce à retouches non abruptes: 27; pièces à enlèvements irréguliers: 28 et 31.

PLANCHE 17



1. Segments (Ech. 1,5:1).



2. Pointes à dos (Ech. 1,5:1).



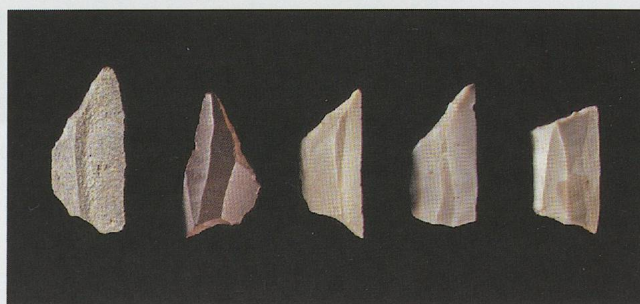
3. Pointes de Sauveterre (Ech. 1,5:1).



4. Triangles isocèles (Ech. 1,5:1).



5. Triangles hypermicrolithes (Ech. 1,5:1).



6. Trapèzes (Ech. 1,5:1).

PLANCHE 18

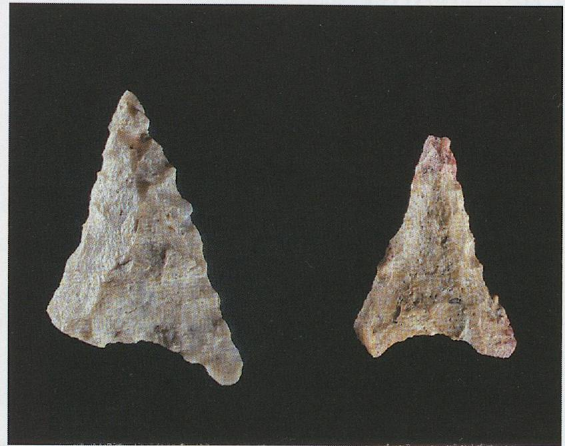


7. Pointes de flèche triangulaires à pédoncule et ailerons (Ech. 1,5:1)

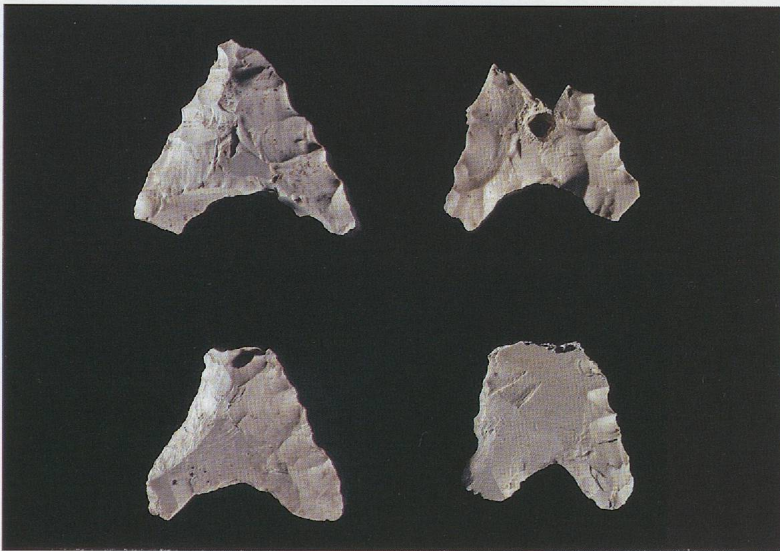


8. Grandes pointes de flèche triangulaires à base concave (Ech. 1,5:1).

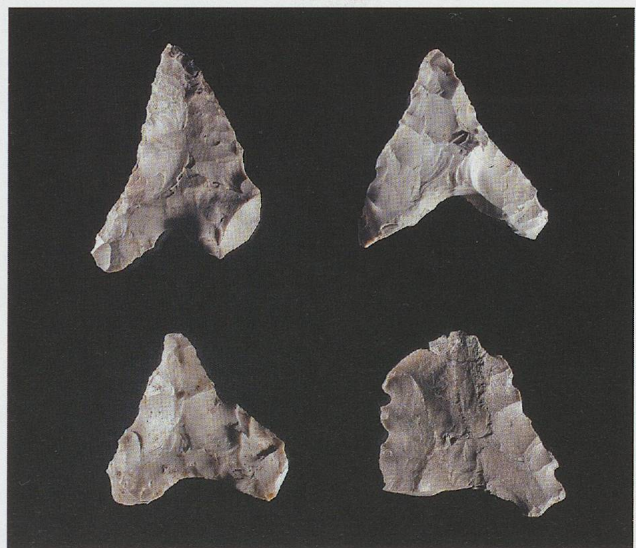
PLANCHE 19



9. Petites pointes de flèche triangulaires à base concave (Ech. 1,5:1).



10. Petites pointes de flèche triangulaires à base concave (Ech. 1,5:1)



11. Petites pointes de flèche triangulaires à base concave, assemblage de la couche 6a (Ech. 1,5:1)